

Что касается теоремы 2, то она дает следующие условия устойчивости:

$$\frac{2b(3a-1)\gamma + a_0(a+b) - 2b(1-b)}{4ab} \leq n^2, \quad \hat{p} \geq [n^2 + 2\pi n(n+1)tg\frac{\pi}{2(n+1)}],$$

$$\frac{1}{a_0(a+b)} [-(a+b)\kappa + (5a^2 - 4ab - 4a + 2b + 1)\gamma^2 -$$

$$-2(ab + b^2 + 2a - b - 1)\gamma - 4ab - b^2 + 1] \leq n^2. \quad (25)$$

Таким образом, достаточные условия устойчивости тривиального решения уравнения (12) представляют собой объединение четырех групп условий, определяемых, соответственно, неравенствами: а) (18), (20); б) (19), (22); в) (23), (24); г) (25).

*Замечание.* Поскольку система (9) была сведена к линейному неоднородному дифференциальному уравнению второго порядка, то найденные условия обеспечивают устойчивость нулевого решения этой системы при дополнительном условии – отсутствии  $\pi$ -периодического решения у уравнения (12) (нерезонансный случай). В противном (резонансном) случае найденные условия гарантируют лишь отсутствие характеристических показателей с положительными вещественными частями у системы уравнений в вариациях (для исходной нелинейной системы имеет место критический по Ляпунову случай).

1. Болграбская И.А., Веласко Г.Э. Регулярная прецессия системы гироскопов Лагранжа, образующих полузамкнутую цепь // Тр. ин-та прикл. математики и механики. - 1998. - Т.2. - С. 3 - 9.
2. Веласко Г.Э., Пузырев В.Е. Об устойчивости движения системы двух гироскопов Лагранжа, образующих полузамкнутую цепь // Там же. - С. 17 - 21.
3. Якубович В.А., Старжинский В.М. Линейные дифференциальные уравнения с периодическими коэффициентами и их приложения. - Москва: Наука, 1972. - 720 с.

Донец. гос. ун-т,

Ин-т прикл. математики и механики НАНУ, Донецк

Получено 08.12.99

УДК 531.38

©2000. Н.А. Николаева

## ИССЛЕДОВАНИЕ УСТОЙЧИВОСТИ РАВНОМЕРНЫХ ВРАЩЕНИЙ СИСТЕМЫ ТРЕХ ТЯЖЕЛЫХ ГИРОСКОПОВ ЛАГРАНЖА, ОБРАЗУЮЩИХ ПОЛУЗАМКНУТУЮ ЦЕПЬ

В настоящей работе рассматривается система трех гироскопов Лагранжа, связанных упругими сферическими шарнирами и образующих полузамкнутую цепь. Исследуются необходимые условия устойчивости равномерных вращений этой системы вокруг вертикали для случая одинаковых тел.

В работе [1] были введены в рассмотрение системы связанных твердых тел, образующих полузамкнутую цепь. Частным случаем таких систем служит система, в которой точка  $O_1$  тела  $S_1$  является неподвижной, а точка  $O_{n+1}$  тела  $S_n$  во все время движения принадлежит вертикальной прямой  $O_1Z$ . Эти системы представляют интерес в связи с возможностью их использования при моделировании упругих стержневых объектов с двумя опорами на концах.

**Уравнения движения.** Уравнения движения систем с полужамкнутой цепью для случая  $n$  тяжелых твердых тел, связанных упругими сферическими шарнирами, получены в [1] в форме, предложенной П.В. Харламовым [5].

В случае  $n = 3$  они имеют вид

$$\begin{aligned}
& (\widehat{A}_1 \boldsymbol{\omega}_1)' + m_1 g \mathbf{c}_1 \times \mathbf{e}_z + h_1 \mathbf{e}_1^z \times [(m_2 + m_3) g \mathbf{e}_z + (m_2 + m_3) h_1 \dot{\mathbf{b}}_1 + \\
& + (m_2 c_2 + m_3 h_2) \dot{\mathbf{b}}_2 + m_3 c_3 \dot{\mathbf{b}}_3] + h_1 \mathbf{e}_1^z \times (R_4^x \mathbf{e}_x + R_4^y \mathbf{e}_y) = \kappa^2 (\mathbf{e}_1^z \times \mathbf{e}_2^z), \\
& (\widehat{A}_2 \boldsymbol{\omega}_2)' + m_2 c_2 \times (g \mathbf{e}_z + h_1 \dot{\mathbf{b}}_1) + m_3 h_2 \mathbf{e}_2^z \times (g \mathbf{e}_z + h_1 \dot{\mathbf{b}}_1 + h_2 \dot{\mathbf{b}}_2 + c_3 \dot{\mathbf{b}}_3) + \\
& + h_2 \mathbf{e}_2^z \times (R_4^x \mathbf{e}_x + R_4^y \mathbf{e}_y) = \kappa^2 (\mathbf{e}_2^z \times \mathbf{e}_3^z - \mathbf{e}_1^z \times \mathbf{e}_2^z), \\
& (\widehat{A}_3 \boldsymbol{\omega}_3)' + m_3 c_3 \times (g \mathbf{e}_z + h_1 \dot{\mathbf{b}}_1 + h_2 \dot{\mathbf{b}}_2) + h_3 \mathbf{e}_3^z \times (R_4^x \mathbf{e}_x + R_4^y \mathbf{e}_y) = -\kappa^2 (\mathbf{e}_2^z \times \mathbf{e}_3^z). \quad (1)
\end{aligned}$$

При этом выполнены следующие соотношения:

$$\sum_{i=1}^3 h_i (\mathbf{e}_i^z \cdot \mathbf{e}_x) = 0, \quad \sum_{i=1}^3 h_i (\mathbf{e}_i^z \cdot \mathbf{e}_y) = 0. \quad (2)$$

Здесь  $\mathbf{e}_x, \mathbf{e}_y, \mathbf{e}_z$  – орты неподвижной инерциальной системы координат  $O_1XYZ$ , в которой ось  $O_1Z$  направлена противоположно вектору силы тяжести;  $\mathbf{e}_k^x, \mathbf{e}_k^y, \mathbf{e}_k^z$  – орты подвижной системы координат  $O_kX_kY_kZ_k$ , жестко связанной с каждым телом, направленные по их главным осям инерции так, что  $\mathbf{e}_k^z$  коллинеарен вектору  $\mathbf{O}_k\mathbf{O}_{k+1}$ ;  $\widehat{A}_k$  – тензор инерции тела  $S_k$  в точке  $O_k$ ,  $\boldsymbol{\omega}_k$  – угловая скорость тела  $S_k$ ;  $\mathbf{c}_k = \mathbf{O}_k\mathbf{C}_k$ , где  $C_k$  – центр масс тела  $S_k$ ,  $h_k = O_kO_{k+1}$ ;  $m_k$  – масса  $S_k$ ;  $\kappa^2$  – жесткость шарнира в точке  $O_k$  ( $k = 2, 3$ );  $R_4^x, R_4^y$  – компоненты силы реакции связи в точке  $O_4$ ,  $\mathbf{b}_k = \boldsymbol{\omega}_k \times \mathbf{e}_k^z$ .

Пусть  $\mathbf{c}_k = c_k \mathbf{e}_k^z$ , тогда система уравнений (1),(2) допускает решение

$$\alpha_k = \beta_k = 0, \quad \dot{\gamma}_k = \omega_k = \text{const} \quad (k = 1, 2, 3), \quad R_4^x = R_4^y = 0, \quad (3)$$

которое соответствует равномерным вращениям каждого из тел системы вокруг трех главных осей, совпадающих с вертикалью. В формуле (3)  $\alpha_k, \beta_k, \gamma_k$  – углы Крылова, определяющие положение системы координат, неизменно связанной с телом  $S_k$ , по отношению к неподвижной системе координат.

Полагаем далее, что тела представляют собой гироскопы Лагранжа и вращаются с одинаковыми угловыми скоростями. Тогда  $A_k = B_k$ ,  $\omega_k = \omega$  ( $k = 1, 2, 3$ ).

Проектируя векторное уравнение движения тела  $S_k$  на оси связанной с ним подвижной системы координат, получим систему уравнений (1) в скалярной форме.

Положим в возмущенном движении  $\alpha_k = x_k$ ,  $\beta_k = y_k$ ,  $\dot{\alpha}_k = \dot{x}_k$ ,  $\dot{\beta}_k = \dot{y}_k$ ,  $\dot{\gamma}_k = \omega + \dot{z}_k$ ,  $R_4^x = R_1$ ,  $R_4^y = R_2$ . Линейные уравнения (1),(2) возмущенного движения (3) имеют вид:

$$\begin{aligned}
& A_1'(\ddot{z}_1 - 2\omega i \dot{z}_1 - \omega^2 z_1) + C_1 \omega (i \dot{z}_1 + \omega z_1) - \mu_1 z_1 + \mu(\ddot{z}_2 - 2\omega i \dot{z}_2 - \omega^2 z_2) + \\
& + \mu'(\ddot{z}_3 - 2\omega i \dot{z}_3 - \omega^2 z_3) - i h_1 Z + \kappa^2(z_1 - z_2) = 0, \\
& A_2'(\ddot{z}_2 - 2\omega i \dot{z}_2 - \omega^2 z_2) + C_2 \omega (i \dot{z}_2 + \omega z_2) - \mu_2 z_2 + \mu(\ddot{z}_1 - 2\omega i \dot{z}_1 - \omega^2 z_1) + \\
& + \mu''(\ddot{z}_3 - 2\omega i \dot{z}_3 - \omega^2 z_3) - i h_2 Z - \kappa^2(z_3 - 2z_2 + z_1) = 0, \\
& A_3(\ddot{z}_3 - 2\omega i \dot{z}_3 - \omega^2 z_3) + C_3 \omega (i \dot{z}_3 + \omega z_3) - \mu_3 z_3 + \mu'(\ddot{z}_1 - 2\omega i \dot{z}_1 - \omega^2 z_1) +
\end{aligned}$$

$$\begin{aligned}
& +\mu''(\ddot{z}_2 - 2\omega i\dot{z}_2 - \omega^2 z_2) - ih_3 Z + \kappa^2(z_3 - z_2) = 0, \\
& h_1 z_1 + h_2 z_2 + h_3 z_3 = 0,
\end{aligned} \tag{4}$$

где

$$z_k = x'_k + iy'_k, \quad Z = R'_1 + iR'_2, \quad x'_k = x_k \cos \omega t - y_k \sin \omega t, \quad y'_k = x_k \sin \omega t + y_k \cos \omega t,$$

$$R'_1 = R_1 \cos \omega t - R_2 \sin \omega t, \quad R'_2 = R_1 \sin \omega t + R_2 \cos \omega t,$$

$$A'_1 = A_1 + (m_2 + m_3)h_1^2, \quad \mu = (m_2 c_2 + m_3 h_2)h_1, \quad \mu_1 = [m_1 c_1 + (m_2 + m_3)h_1]g,$$

$$\mu' = m_3 c_3 h_1, \quad A'_2 = A_2 + m_3 h_2^2, \quad \mu_2 = (m_2 c_2 + m_3 h_2)g, \quad \mu'' = m_3 c_3 h_2, \quad \mu_3 = m_3 c_3 g,$$

$A_k, C_k$  – соответственно экваториальный и осевой моменты инерции тела  $S_k$  ( $k = 1, 2, 3$ ).

Уравнения для  $\bar{z}_k, \bar{Z}$  получаем из (4) заменой  $i$  на  $-i$ .

**Исследование устойчивости равномерных вращений.** Рассмотрим случай, когда тела одинаковы, при этом  $m_k = m$ ,  $A_k = A$ ,  $C_k = C$ ,  $h_k = h$ ,  $c_k = c$  ( $k = 1, 2, 3$ ), и неуравновешены (центры масс находятся выше точки опоры), тогда  $c > 0$ . Пусть  $h = 2c$ .

Разыскивая решения системы (4) в виде  $z_k = z_k^0 e^{i(\lambda+\omega)t}$ ,  $Z = Z^0 e^{i(\lambda+\omega)t}$  ( $k = 1, 2, 3$ ), где  $\lambda$  – некоторые постоянные, приходим к уравнению

$$\begin{aligned}
& \lambda^4[3A^2 + 4mc^2(A - mc^2)] + 2\lambda^3\omega C(3A + 2mc^2) + \lambda^2[3C^2\omega^2 + 12(mcg - \kappa^2)(A + mc^2) + \\
& + 6mcg - 4mc^2\kappa^2] + 6\lambda\omega C(3mcg - 2\kappa^2) + 23(mcg)^2 - 36mcg\kappa^2 + 9\kappa^4 = 0.
\end{aligned} \tag{5}$$

Введем безразмерные параметры

$$v = C\omega/\sqrt{Amcg}, \quad a = mc^2/A, \quad b = \kappa^2/mcg, \quad \lambda = \lambda_1\sqrt{mcg/A}. \tag{6}$$

Тогда уравнение (5) запишется следующим образом:

$$\begin{aligned}
& \lambda_1^4(-4a^2 + 4a + 3) + 2\lambda_1^3v(3 + 2a) + \lambda_1^2[3v^2 + 12(1 - b)(1 + a) + 6 - 4ab] + \\
& + 6\lambda_1v(3 - 2b) + 23 - 36b + 9b^2 = 0.
\end{aligned} \tag{7}$$

Отметим, что в уравнении (7), согласно (6),  $a > 0$ ,  $b > 0$ , и кроме того,  $a - 1 < 0$ , поскольку  $a - 1 = (mc^2 - A)/A = -A_c/A$ , где  $A_c$  – центральный экваториальный момент инерции тела.

Необходимые условия устойчивости равномерных вращений будут выполнены, если все корни  $\lambda_1$  уравнения (7) действительны.

Для определения количества действительных корней (7) воспользуемся графоаналитическим методом, предложенным в работе [3]. Запишем (7) следующим образом:

$$3\lambda_1^2v^2 + 2q(\lambda_1)\lambda_1v + r(\lambda_1) = 0, \tag{8}$$

где

$$q(\lambda_1) = \lambda_1^2(3 + 2a) + 3(3 - 2b), \quad r(\lambda_1) = r_2\lambda_1^4 + 2r_1\lambda_1^2 + r_0,$$

$$r_2 = -4a^2 + 4a + 3 > 0, \quad r_1 = 6(1 - b)(1 + a) + 3 - 2ab,$$

$$r_0 = 9b^2 - 36b + 23.$$

Корни уравнения (8):

$$v_{1,2} = \frac{-q(\lambda_1) \pm \sqrt{q^2(\lambda_1) - 3r(\lambda_1)}}{3\lambda_1}. \quad (9)$$

Построим график функции (9), из которого для любого заданного значения безразмерной скорости вращения  $v$  можно определить количество действительных корней уравнения (7).

Поскольку  $v_{1,2}(\lambda_1)$  является нечетной функцией, то исследование функции (8) достаточно провести при  $\lambda_1 > 0$ .

Ось  $\lambda_1 = 0$  является вертикальной асимптотой. Для  $v_1(\lambda_1)$  имеем наклонную асимптоту  $l_1 = (2a - 3)\lambda_1$ , для  $v_2(\lambda_1) - l_2 = -(6a + 3)\lambda_1$ , а значит при  $\lambda_1 \rightarrow +\infty$   $v_1(\lambda_1) \rightarrow -\infty$ ,  $v_2(\lambda_1) \rightarrow -\infty$ , причем  $v_2(\lambda_1) < v_1(\lambda_1)$ .

Рассмотрим случаи, когда параметр  $b$  принадлежит одному из следующих интервалов  $B_1 = (0, b_1^*)$ ,  $B_2 = (b_1^*, b_2^*)$  и  $B_3 = (b_2^*, \infty)$ , где  $b_1^*, b_2^*$  - корни уравнения  $r_0(b) = 0$ .

Для  $b \in B_1$  имеем  $r(\lambda_1) > 0$ , поскольку  $r_i > 0$  ( $i = 0, 1, 2$ ). Отсюда заключаем, что уравнение  $r(\lambda_1) = 0$  не имеет действительных корней, а значит, график функции  $v(\lambda_1)$  не пересекает ось  $O\lambda_1$ . Кроме того,  $q(\lambda_1) > 0$ , тогда  $v_1(\lambda_1) < 0$ ,  $v_2(\lambda_1) < 0$ , и при  $\lambda_1 \rightarrow 0$   $v_1(\lambda_1) \rightarrow -\infty$ ,  $v_2(\lambda_1) \rightarrow -\infty$ . Схематический график функции изображен на рис. 1.

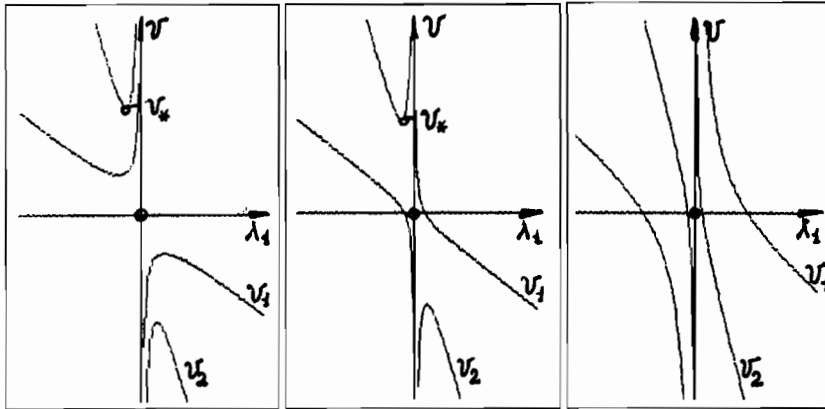


Рис. 1

Рис. 2

Рис. 3

Если  $b \in B_2$ , то уравнение  $r(\lambda_1) = 0$  имеет один положительный корень, а график функции  $v_{1,2}(\lambda_1)$  - одно пересечение с осью  $\lambda_1$ . Поскольку  $\lim_{\lambda_1 \rightarrow 0} r(\lambda_1) = r_0 < 0$ , то  $d_1 = q^2(\lambda_1) - 3r(\lambda_1) > q^2(\lambda_1)$  при  $\lambda_1 \rightarrow 0$ , и  $v_1(\lambda_1) \rightarrow +\infty$ ,  $v_2(\lambda_1) \rightarrow -\infty$  при  $\lambda_1 \rightarrow 0$ . График функции изображен на рис. 2.

Для  $b \in B_3$  получаем существование двух положительных корней уравнения  $r(\lambda_1) = 0$ , поскольку  $r_1 < 0$ ,  $r_0 > 0$ ,  $r_2 > 0$  и  $d_1 = r_1^2 - r_2 r_0 > 0$ . Это означает, что график  $v_{1,2}(\lambda_1)$  имеет два пересечения с осью  $O\lambda_1$ . При  $\lambda_1 \rightarrow 0$   $q(\lambda_1) < 0$ ,  $d_1 = q^2(\lambda_1) - 3r(\lambda_1) < q^2(\lambda_1)$ , и  $v_1(\lambda_1) \rightarrow +\infty$ ,  $v_2(\lambda_1) \rightarrow +\infty$ . График представлен на рис. 3.

Анализ рис. 1 и 2 позволяет заключить, что для  $b \in B_1$  либо  $b \in B_2$  уравнение (7) имеет четыре действительных корня при  $v^2 > v_*^2 = v_*^2(b)$ . Если же  $b \in B_3$ , как следует из рис. 3, уравнение (7) имеет все действительные корни при любом значении  $v$ .

В заключение рассмотрим случаи, когда  $b = b_1^*$  и  $b = b_2^*$ . При этом  $r_0 = 0$ ,  $r(\lambda_1) = \lambda_1^2(r_2\lambda_1^2 + 2r_1) = \lambda_1 r_3(\lambda_1)$ , и для (7) сразу имеем действительный корень  $\lambda_1 = 0$ .

Тогда необходимыми условиями устойчивости будут условия существования всех действительных корней  $\lambda_1$  кубического уравнения

$$3\lambda_1 v^2 + 2q(\lambda_1)v + r_3(\lambda_1) = 0. \quad (10)$$

Разрешая (10) относительно  $v$ , получим (8). Построим для (8) график.

Учитывая, что  $r_3(0) = 0$ , при  $b = b_1^*$  имеем  $q = \lim_{\lambda_1 \rightarrow 0} q(\lambda_1) > 0$ , и  $v_1^*(0) = 0$ ,  $v_2^*(\lambda_1) \rightarrow -\infty$  при  $\lambda_1 \rightarrow 0$ ; для  $b = b_2^*$   $q < 0$ , и  $v_1^*(\lambda_1) \rightarrow +\infty$  при  $\lambda_1 \rightarrow 0$ ,  $v_2^*(0) = 0$ . Значению  $b = b_1^*$  соответствует график на рис. 4,  $b = b_2^*$  - на рис. 5.

Анализируя график на рис. 4 получаем, что уравнение (10) имеет три действительных корня для  $v^2 > v_*^2$ . Из рис. 5 имеем действительность всех корней этого уравнения для любого значения  $v$ .

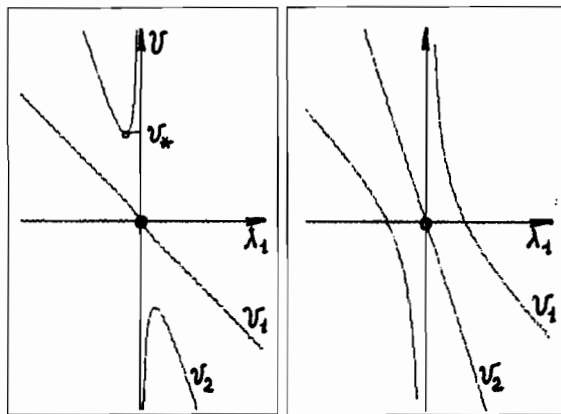


Рис. 4

Рис. 5

Итак, для системы трех одинаковых неуравновешенных гироскопов Лагранжа необходимые условия устойчивости равномерных вращений будут выполнены, начиная с некоторого значения угловой скорости  $\omega$ , причем для значений жесткости шарнира  $\kappa^2 \geq b_2^* m c g$ , где  $b_2^* \approx 3, 2$ , движение будет устойчивым при любых  $\omega$ .

Отметим, что полученный результат возникает лишь для систем, образующих полузамкнутую цепь [2]. Для свободных и несвободных систем твердых тел [4], для тела на струне [3] устойчивость равномерных вращений

вокруг вертикали возможна только начиная с некоторого значения угловой скорости.

**Случай уравновешенных тел.** Рассмотрим теперь систему, состоящую из уравновешенных тел (центры масс находятся ниже точки опоры). Тогда  $c < 0$ . Производя в уравнении (5) замену  $c$  на  $-c$  и полагая  $c > 0$ , в уравнении (8) имеем следующие коэффициенты:

$$q(\lambda_1) = \lambda_1^2(3 + 2a) - 3(3 + 2b), \quad r(\lambda_1) = r_2 \lambda_1^4 + 2r_1 \lambda_1^2 + r_0,$$

$$r_2 = -4a^2 + 4a + 3 > 0, \quad r_1 = -6(1 + b)(1 + a) - 3 - 2ab < 0, \quad r_0 = 9b^2 + 36b + 23 > 0,$$

и  $d = q^2(\lambda_1) - 3r(\lambda_1) = 16ab^2 \lambda_1^4 + 24ab \lambda_1^2 + 3(4 + 3b^2) > 0$ .

Рассмотрим уравнение  $r(\lambda_1^2) = 0$ . Поскольку его дискриминант  $d_1 = b^2(100a^2 + 60a + 9) + 24ab(10a + 3) + 4(32a^2 + 4a + 3) > 0$  и имеется две перемены знака в коэффициентах, то данное уравнение имеет два действительных корня, а значит,  $v_{1,2}(\lambda_1)$  дважды пересекает ось  $O\lambda_1$  при  $\lambda_1 > 0$ . Изучим поведение функций  $v_1(\lambda_1)$ ,  $v_2(\lambda_1)$  в окрестности нуля и на бесконечности. Поскольку  $\lim_{\lambda_1 \rightarrow 0} r(\lambda_1) = r_0 > 0$ ,  $\lim_{\lambda_1 \rightarrow 0} q(\lambda_1) = -3(3 + 2b) < 0$ , то при  $\lambda_1 \rightarrow 0$   $v_1(\lambda_1) \rightarrow +\infty$ ,  $v_2(\lambda_1) \rightarrow +\infty$ . При  $\lambda_1 \rightarrow +\infty$  поведение функции  $v_{1,2}(\lambda_1)$  аналогично случаю  $c > 0$ . График функции такой же как на рис. 3. Следовательно, для уравновешенных тел необходимые условия устойчивости выполняются при любых значениях угловой скорости  $\omega$ . Этот результат совпадает с полученным в [4] для несвободных систем.

1. Болграбская И.А., Савченко А.Я. Системы связанных твердых тел, образующих полужамкнутую цепь.- 1994. - Вып.26(2). - С.33 - 40.
2. Веласко Эррера Г. Устойчивость равномерных вращений системы двух гироскопов Лагранжа, образующих полужамкнутую цепь// Механика твердого тела. - 1997. - Вып.29. - С.50 -54.
3. Ишлинский А.Ю., Стороженко В.А., Темченко М.Е. Вращение твердого тела на струне и смежные задачи. - М.: Наука, 1991. - 330 с.
4. Савченко А.Я., Болграбская И.А., Кононыгин Г.А. Устойчивость движения систем связанных твердых тел. - Киев: Наук. думка, 1991. - 168 с.
5. Харламов П.В. Об уравнениях движения системы связанных твердых тел// Механика твердого тела. - 1972. - Вып. 4. - С. 52 - 73.

Ин-т прикл. математики и механики НАН Украины, Донецк

Получено 10.11.99

УДК 531.36

©2000. Н.Н. Чинкуляк

## УСТОЙЧИВОСТЬ РЕГУЛЯРНОЙ ПРЕЦЕССИИ В ОБОБЩЕННОЙ ЗАДАЧЕ О ДВИЖЕНИИ ТВЕРДОГО ТЕЛА С НЕПОДВИЖНОЙ ТОЧКОЙ

С помощью интегралов уравнений возмущенного движения установлена устойчивость регулярной прецессии в обобщенной задаче [2] о движении твердого тела с неподвижной точкой.

**Постановка задачи. Основные соотношения.** Рассмотрим описанную в работе [2] систему четырех связанных тяжелых твердых тел  $S_0, S_1, S_2, S_3$ , движущуюся под действием силы тяжести. В этой системе тело  $S_0$  с массой  $m_0$  имеет неподвижную точку  $O$ . Тела  $S_i$  ( $i = 1, 2, 3$ ) с массами  $m_i$  имеют общие точки  $O_i$  с телом  $S_0$ . Точки  $O_i$  ( $i = 1, 2, 3$ ) находятся соответственно на первой, второй и третьей оси системы координат  $Oe_1^{(0)}e_2^{(0)}e_3^{(0)}$ , жестко связанной с телом  $S_0$ . Точки  $O'_i$  ( $i = 1, 2, 3$ ), принадлежащие телам  $S_i$  ( $i = 1, 2, 3$ ) соответственно, во все время движения находятся на оси, определяемой единичным вектором  $\gamma$ , направленным противоположно вектору силы тяжести. Кроме того  $|OO_i| = |O_iO'_i| = l_i$ . В точках  $O$  и  $O'_i$  ( $i = 1, 2, 3$ ) расположены идеальные сферические шарниры, а в точках  $O_i$  ( $i = 1, 2, 3$ ) - специальные шарниры [2], обеспечивающие симметрию движений тел  $S_i$  и  $S_0$  относительно плоскости  $\pi_i$ , проходящей через точку  $O_i$  перпендикулярно вектору  $\gamma$ .

Кинетическая  $T$  и потенциальная  $\Pi$  энергии такой системы определяются равенствами [2]

$$T = \frac{1}{2}\omega \cdot A\omega - \frac{1}{2}(\omega \times \gamma) \cdot B(\omega \times \gamma), \quad \Pi = a_1\gamma_1 + a_2\gamma_2 + a_3\gamma_3.$$

Здесь  $\omega = \omega_1e_1^{(0)} + \omega_2e_2^{(0)} + \omega_3e_3^{(0)}$  - абсолютная угловая скорость тела  $S_0$ ,  $\gamma = \gamma_1e_1^{(0)} + \gamma_2e_2^{(0)} + \gamma_3e_3^{(0)}$  - единичный вектор вертикали;  $A = \|A_{ij}\|$  - симметричная матрица, элементы которой таковы:

$$A_{11} = \sum_{i=0}^3 A_{11}^{(i)} + m_2l_2^2 + m_3l_3^2 - 2m_2l_2c_2^{(2)} - 2m_3l_3c_3^{(3)}, \quad (123)$$

$$A_{21} = A_{12} = A_{12}^{(0)} - A_{12}^{(1)} - A_{12}^{(2)} + A_{12}^{(3)} - m_1l_1c_2^{(1)} - m_2l_2c_1^{(2)},$$